

真空下碳热还原氧化铝的热力学

冯月斌^{1,2}, 杨斌¹, 戴永年¹

(1. 昆明理工大学 冶金与能源工程学院 真空冶金国家工程实验室, 昆明 650093;
2. 昆明理工大学 理学院, 昆明 650093)

摘要: 对真空条件下碳热还原氧化铝进行热力学研究。结果表明: 在 1 643~1 843 K 的温度范围内, 真空碳热还原氧化铝生成气体产物, 该气体在温度降低时发生二次反应形成冷凝物, 反应过程中体系压力保持在 5~150 Pa。热力学分析表明: 当体系压力为 1~100 Pa 时, 在 1 200~1 900 K 的温度范围内, 碳热还原氧化铝生成 Al₂O、Al 和 CO; 生成 Al₂O 的初始反应温度低于生成 Al 的初始反应温度, 但反应温度高于一定值时, 更易生成 Al 气体, 该温度取决于体系的压力; 当 CO 的分压分别为 1、10 和 100 Pa 时, Al₂O 稳定存在的温度分别高于 1 462、1 560 和 1 674 K, Al 气体稳定存在的温度分别高于 1 514、1 635 和 1 777 K。

关键词: 氧化铝; 碳; 碳热还原; 热力学

中图分类号: TF 131; TF 8 文献标志码: A

Thermodynamics of carbothermal reduction of alumina in vacuum

FENG Yue-bin^{1,2}, YANG Bin¹, DAI Yong-nian¹

(1. National Engineering Laboratory of Vacuum Metallurgy, Faculty of Metallurgy and Energy Engineering,
Kunming University of Science and Technology, Kunming 650093, China;
2. Faculty of Science, Kunming University of Science and Technology, Kunming 650093, China)

Abstract: The thermodynamics of the carbothermal reduction of alumina in the vacuum was investigated. The experimental results show that the reduction of alumina with carbon generates gaseous products at a temperature ranging from 1 643 to 1 843 K, and then the gaseous products react to form condensates at lower temperatures, in which the pressure is ranged from 5 to 150 Pa. Thermodynamic analysis indicates that the carbothermal reduction of alumina leads to the generation of Al₂O, Al and CO gas at a temperature ranging from 1 200 to 1 900 K and a pressure ranging from 5 to 100 Pa. The initial temperature of the formation of Al₂O is lower than that of the formation of Al. However, the formation of Al is easier than that of Al₂O when the reaction temperature is higher than a certain value that is determined by the pressure of the system. When the pressure of CO is 1, 10 and 100 Pa, Al₂O is stable above 1 462, 1 560 and 1 674 K, and Al is stable above 1 514, 1 635 and 1 777 K, respectively.

Key words: alumina; carbon; carbothermal reduction; thermodynamics

碳热还原氧化铝在铝冶金中的应用研究持续了 100 多年, 目前, 电解法炼铝工艺日臻完善, 但碳热还原炼铝法仍然具有取代电解法的潜力^[1]。碳热还原炼铝法分为氧化铝的直接碳热还原和碳热还原-卤化

-歧化法^[2-4]。另一方面, 随着氧化铝及铝化合物在陶瓷材料中的应用越来越广泛, 碳热还原氧化铝的反应也逐渐被材料工作者关注, 如采用碳热还原氧化铝法制备 AlN 陶瓷材料^[5] 和 Al₄C₃^[6]。人们对碳热还原氧

基金项目: 国家自然科学基金会-云南省联合基金重点资助项目(u0837604)

收稿日期: 2010-07-16; 修订日期: 2010-11-28

通信作者: 杨斌, 教授, 博士; 电话: 0871-5161583; E-mail: kgyb2005@126.com

化铝体系中各化合物已进行了较为深入的研究, 已经获得了相应的热力学数据^[7~9], 但反应机理仍然没有得到统一的认识。刘新宽等^[10]和李亚伟等^[11]评述了氮气气氛下碳热还原氧化铝反应机理的研究进展及固-固相反应机理和气相反应机理。袁海滨等^[12~14]认同固-固相反应机理, 认为氧化铝与碳发生固-固相反应首先生成 $\text{Al}_4\text{O}_4\text{C}$, 在更高的温度下生成 Al_4C_3 。YU 等^[15]则认为氧化铝与碳的固-固相反应有限, 氧化铝碳热还原反应通过 CO 进行, 生成 Al、 Al_2O 和 AlO 气体。

随着真空技术的发展, 王平艳等^[16]和李秋霞等^[17]进行了真空碳热还原氧化铝的应用研究。本文作者从热力学角度研究真空下碳热还原氧化铝的反应, 为其工业应用提供理论基础。

1 实验

将氧化铝(分析纯)和石墨(纯度为 99.8%)以摩尔比 1:3 进行配比, 混匀后, 在压力为 2 MPa 下压成直径为 20 mm 圆柱状料块, 每块料的质量约为 5 g。

将反应物料置于真空炉内的石墨坩埚中, 升至一定温度后保持该温度 30 min。反应过程中真空炉内的压力保持在 5~150 Pa。检查反应后的物料, 采用 X 射线衍射仪(D/max-3B)分析残留物和冷凝物的物相, 采用扫描电镜(XL30ESEM-TMP)检测其微观结构。实验温度范围为 1 643~1 843 K。

2 结果与讨论

2.1 反应后物料的外观

图 1 所示为在不同温度下反应 30 min 后的物料在坩埚中的照片。由图 1 可以看出, 上层料块及坩埚壁上粘附着冷凝物。当反应温度较高时, 如图 1(d)和(e)所示, 冷凝物将反应料块完全覆盖, 很容易认为反应物部分熔融, 本文作者在前期总是把冷凝物与残留物一起作为残留物进行分析。在不同温度下反复实验后才发现, 反应后坩埚内的物料由冷凝物与残留物两部分组成。因为坩埚上段的温度低于中、下段的温度, 所以, 位于上层的料块反应程度低, 且在上面形成冷凝物。

根据反应后的物料外观可以推测: 石墨还原氧化铝生成气体产物, 该气体产物发生二次反应形成冷凝物。

2.2 残留物和冷凝物分析

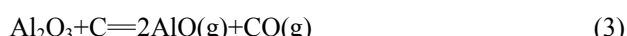
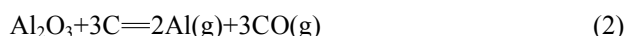
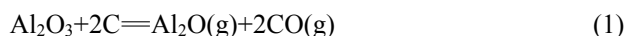
图 2 所示为氧化铝和石墨在 1 743 K 反应 30 min 得到的残留物和冷凝物的 XRD 谱。由图 2 可知, 不同反应温度下的残留物都由 $\alpha\text{-Al}_2\text{O}_3$ 和 C 组成, 冷凝物都由 $\text{Al}_4\text{O}_4\text{C}$ 、C、 Al_4C_3 和 Al_2O_3 组成。

图 3 所示为氧化铝和石墨在 1 743 K 反应 30 min 得到的残留物和冷凝物的 SEM 像。由图 3 可见, 残留物和冷凝物的形貌完全不同。

物相分析和 SEM 像分析证实: 石墨与氧化铝反应主要生成气体产物, 该气体产物在温度降低时发生二次反应形成含 $\text{Al}_4\text{O}_4\text{C}$ 、C、 Al_4C_3 和 Al_2O_3 的冷凝物。

2.3 真空下碳热还原氧化铝的热力学分析

据报道, Al_2O_3 气化的主要气体成分为 Al、 Al_2O 和 AlO ^[18]; 碳在温度高于 1 273 K 的气化产物主要为 CO。因此, 碳热还原氧化铝的气体产物可能由 Al、 Al_2O 、 AlO 和 CO 组成, 可能的反应如下:



2.3.1 碳热还原氧化铝反应的吉布斯自由能与温度和压力的关系

利用 HSC 热力学软件中的数据, 得到反应(1)~(3)的标准吉布斯自由能与温度的关系, 如图 4 所示。由图 4 可见, 在 1 200~1 900 K 的温度范围内, 反应(1)~(3)的标准吉布斯自由能均为正值, 因此, 常压下反应不可能正向进行。

反应(1)~(3)为增容反应, 减压有利于反应的进行。根据文献[19]的方法, 推导出在 1 200~1 900 K 的温度范围内反应(1)~(3)的吉布斯自由能与温度和压力的关系式分别如下:

$$\Delta G = 1 228 358 - 850.140T + 57.438T \lg p \quad (4)$$

$$\Delta G = 1 957 149 - 1 313.823T + 95.730T \lg p \quad (5)$$

$$\Delta G = 1 680 591 - 835.590T + 38.292T \lg p \quad (6)$$

根据式(4)~(6)得到不同压力下吉布斯自由能与温度之间的关系如图 5 所示。由图 5 可以看出: 反应(1)~(3)的吉布斯自由能在 1 200~1 900 K 的温度范围内随温度的升高和压力的降低而降低, 说明升高温度和降低压力有利于反应的进行。从图 5(a)和(b)可知, 当系统压力为 1、10 和 100 Pa 时, 反应(1)和(2)的初始反应温度均低于 1 900 K; 从图 5(c)可知, 当温度低于 1 900 K 时, 反应(3)不可能发生。本实验研究的温度范围为 1 643~1 843 K、压力范围为 5~150 Pa, 即在本实验条件下, 可以不考虑 AlO 的形成。



图1 在不同温度下反应 30 min 后的物料在坩埚中的照片

Fig.1 Photographs of samples in crucible after reacted at different temperatures for 30 min: (a) 1 643 K; (b) 1 693 K; (c) 1 743 K; (d) 1 793 K; (e) 1 843 K

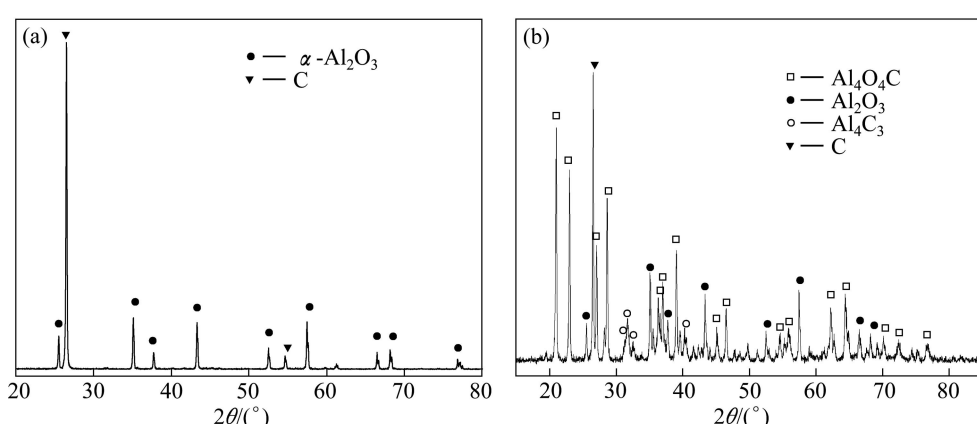


图2 氧化铝和石墨在 1 743 K 反应 30 min 后残留料与冷凝物的 XRD 谱

Fig.2 XRD patterns of residues (a) and condensates (b) produced by reaction of alumina with graphite at 1 743 K for 30 min

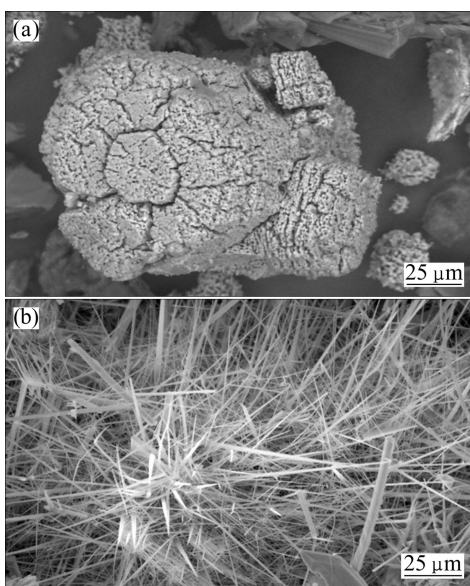


图3 氧化铝和石墨在1743 K反应30 min后残留料与冷凝物的SEM像

Fig.3 SEM images of residues (a) and condensates (b) produced by reaction of alumina with graphite at 1743 K for 30 min

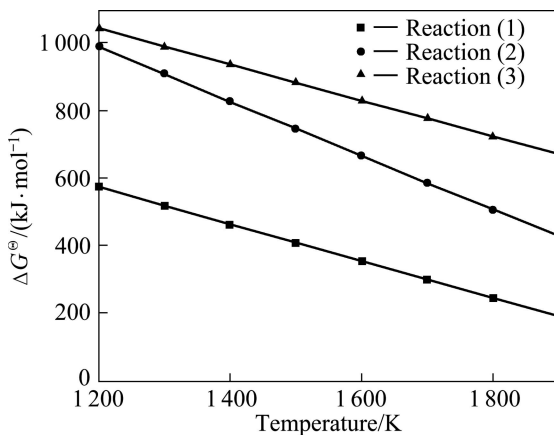


图4 反应(1)~(3)的标准吉布斯自由能与温度的关系

Fig.4 Relationship between ΔG^\ominus and temperature for reactions (1)–(3)

2.3.2 碳热还原氧化铝的初始反应温度

$\Delta G=0$ 时的温度为反应的初始温度。根据式(4)和(5)可以分别得到反应(1)和(2)初始反应温度与系统压力的关系, 如图6所示。由图6可知, 在相同的体系压力下, 反应(2)的初始反应温度高于反应(1)的, 且体系压力越高, 二者的初始反应温度相差越大。

2.3.3 碳热还原氧化铝反应的吉布斯自由能比较

图7所示为不同压力下碳热还原氧化铝反应(1)和(2)吉布斯自由能与温度的关系。由图7可知, 反应(2)

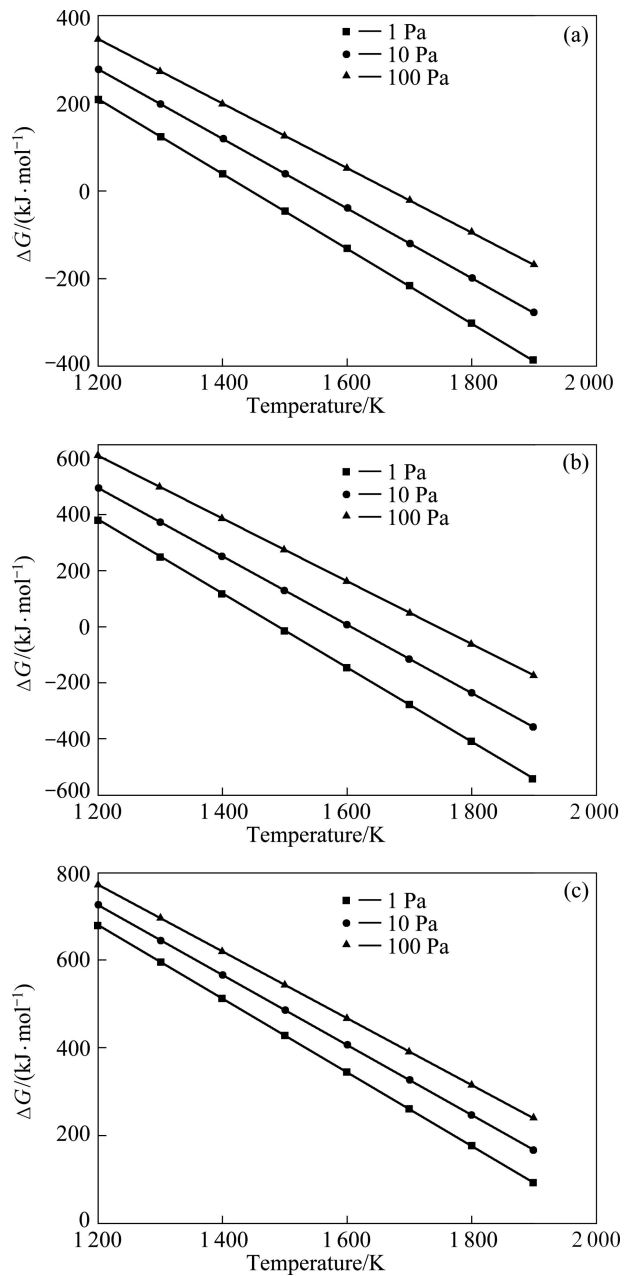


图5 不同压力下反应(1)~(3)的吉布斯自由能与温度的关系

Fig.5 Relationship between ΔG and temperature for reactions (1)–(3) at different pressures: (a) Reaction (1); (b) Reaction (2); (c) Reaction (3)

的初始反应温度高于反应(1)的, 但反应(2)的吉布斯自由能随温度的升高而下降的趋势更大, 使两个反应的吉布斯自由能与温度的关系曲线相交。交点温度时, 两个反应的吉布斯自由能相等。高于交点温度时, 反应(2)的吉布斯自由能小于反应(1)的, 反应(2)应优先发生。1、10 和 100 Pa 压力下的交点温度分别约为 1560、1710 和 1890 K, 即高于此温度时, 优先生成 Al 气体; 低于此温度时, 优先生成 Al_2O 气体。

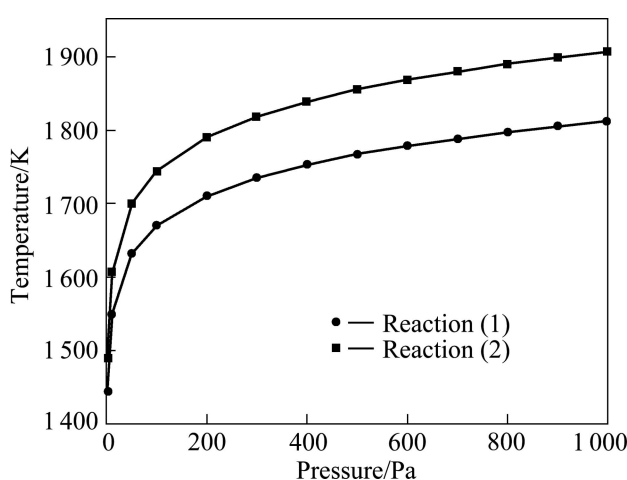


图6 反应(1)和(2)初始反应温度与系统压力的关系

Fig.6 Relationship between initial temperatures of reactions (1) and (2) and pressure of system

当反应(1)和(2)的吉布斯自由能与温度的关系曲线相交时,其吉布斯自由能相等,即式(4)与式(5)相等。由此推导出体系压力与两条曲线交点温度的关系式如下:

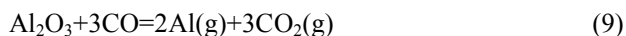
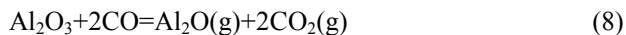
$$\lg p = 12.11 - \frac{19\,032.46}{T} \quad (7)$$

根据式(7)绘制交点温度与体系压力的关系曲线,如图8所示。由图8可知,交点温度随系统压力的升高而升高,在曲线的左上方区域,反应(2)的吉布斯自由能高于反应(1)的,优先生成Al;曲线右下方区域的情况则相反,优先生成Al₂O。

2.3.4 真空下碳热还原氧化铝反应的平衡图

当采用固体还原剂C还原金属氧化物、且温度高于1 273 K时,还原反应由如下两步完成^[20]: 1) CO还原氧化物, MeO+CO=Me+CO₂; 2) CO₂与C反应生成CO, CO₂+C=2CO。

当采用固体还原剂C还原氧化铝、且温度为1 273~1 900 K时,体系内发生以下反应:



反应(1)和(2)分别由反应(8)和(9)与反应(10)组成。根据 $\Delta G = \Delta G^\ominus + RT \ln K_p$, 反应平衡时, $\Delta G = 0$ 。利用HSC中的热力学数据推导出平衡气相分压与温度的关系式。假设反应体系为封闭体系,固定一种气相成

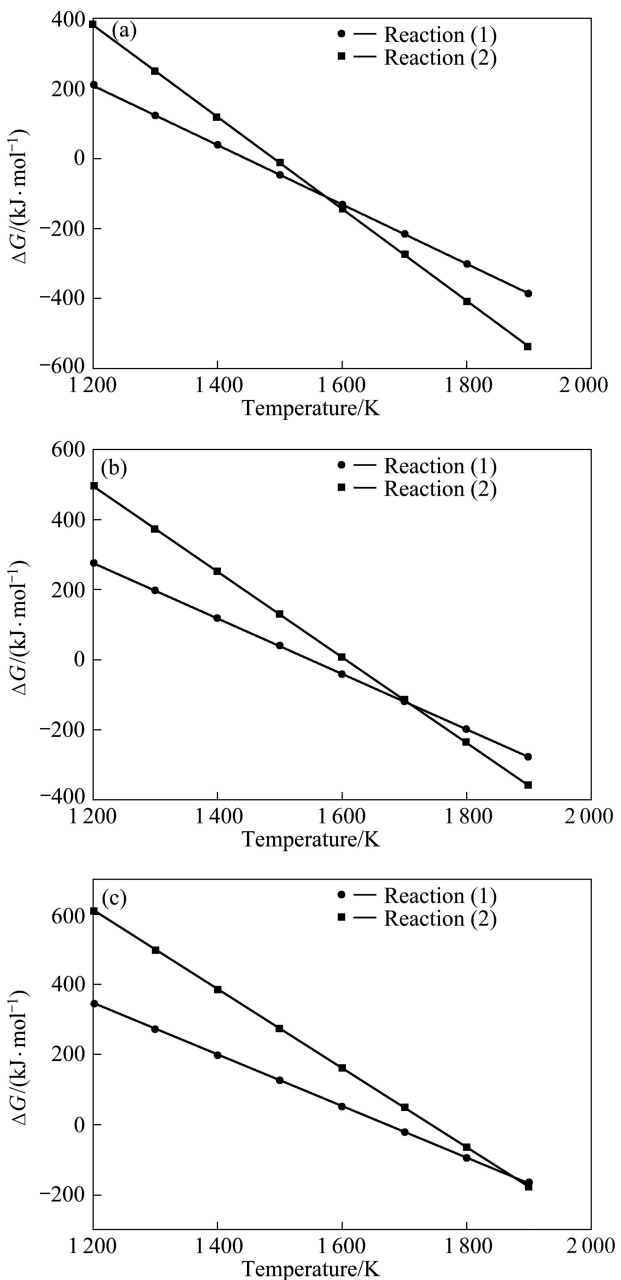


图7 不同压力下反应(1)和(2)吉布斯自由能与温度的关系

Fig.7 Relationship between ΔG and temperature for reactions (1) and (2) at different pressures: (a) 1 Pa; (b) 10 Pa; (c) 100 Pa

分的分压,即可导出CO₂和CO分压比与温度的关系。

对于反应(8),令 $p(\text{CO})=1 \text{ Pa}$, $p(\text{Al}_2\text{O})=0.5 \text{ Pa}$, 有

$$\lg \frac{p(\text{CO}_2)}{p(\text{CO})} = -\frac{23\,470.2}{T} + 8.03 \quad (11)$$

令 $p(\text{CO})=10 \text{ Pa}$, $p(\text{Al}_2\text{O})=5 \text{ Pa}$, 有

$$\lg \frac{p(\text{CO}_2)}{p(\text{CO})} = -\frac{23\,470.2}{T} + 7.53 \quad (12)$$

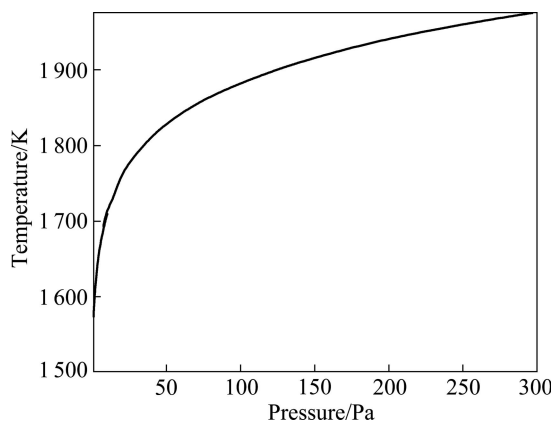


图8 反应(1)与(2)的吉布斯自由能相等时温度与体系压力的关系

Fig.8 Relationship between temperature at which ΔG of reaction (1) equals that of reaction (2) and pressure of system

令 $p(\text{CO})=100 \text{ Pa}$, $p(\text{Al}_2\text{O})=50 \text{ Pa}$, 有

$$\lg \frac{p(\text{CO}_2)}{p(\text{CO})} = -\frac{23470.2}{T} + 7.03 \quad (13)$$

对于反应(9), 令 $p(\text{CO})=1 \text{ Pa}$, $p(\text{Al})=0.67 \text{ Pa}$, 有

$$\lg \frac{p(\text{CO}_2)}{p(\text{CO})} = -\frac{25465.56}{T} + 8.68 \quad (14)$$

令 $p(\text{CO})=10 \text{ Pa}$, $p(\text{Al})=6.7 \text{ Pa}$, 有

$$\lg \frac{p(\text{CO}_2)}{p(\text{CO})} = -\frac{25465.56}{T} + 8.01 \quad (15)$$

令 $p(\text{CO})=100 \text{ Pa}$, $p(\text{Al})=67 \text{ Pa}$, 有

$$\lg \frac{p(\text{CO}_2)}{p(\text{CO})} = -\frac{25465.56}{T} + 7.34 \quad (16)$$

对于反应(10), 令 $p(\text{CO})=1 \text{ Pa}$, 有

$$\lg \frac{p(\text{CO}_2)}{p(\text{CO})} = \frac{8608.5}{T} - 13.91 \quad (17)$$

令 $p(\text{CO})=10 \text{ Pa}$, 有

$$\lg \frac{p(\text{CO}_2)}{p(\text{CO})} = \frac{8608.5}{T} - 12.91 \quad (18)$$

令 $p(\text{CO})=100 \text{ Pa}$, 有

$$\lg \frac{p(\text{CO}_2)}{p(\text{CO})} = \frac{8608.5}{T} - 11.91 \quad (19)$$

根据式(11)~(19)可作出体系压力不同下反应的平衡曲线, 如图9所示。由图9可知, 当采用CO还原氧化铝时, 反应(8)平衡曲线的右上方区域为 Al_2O_3 的稳定区, 反应(9)平衡曲线的左下方为 Al 的稳定区域,

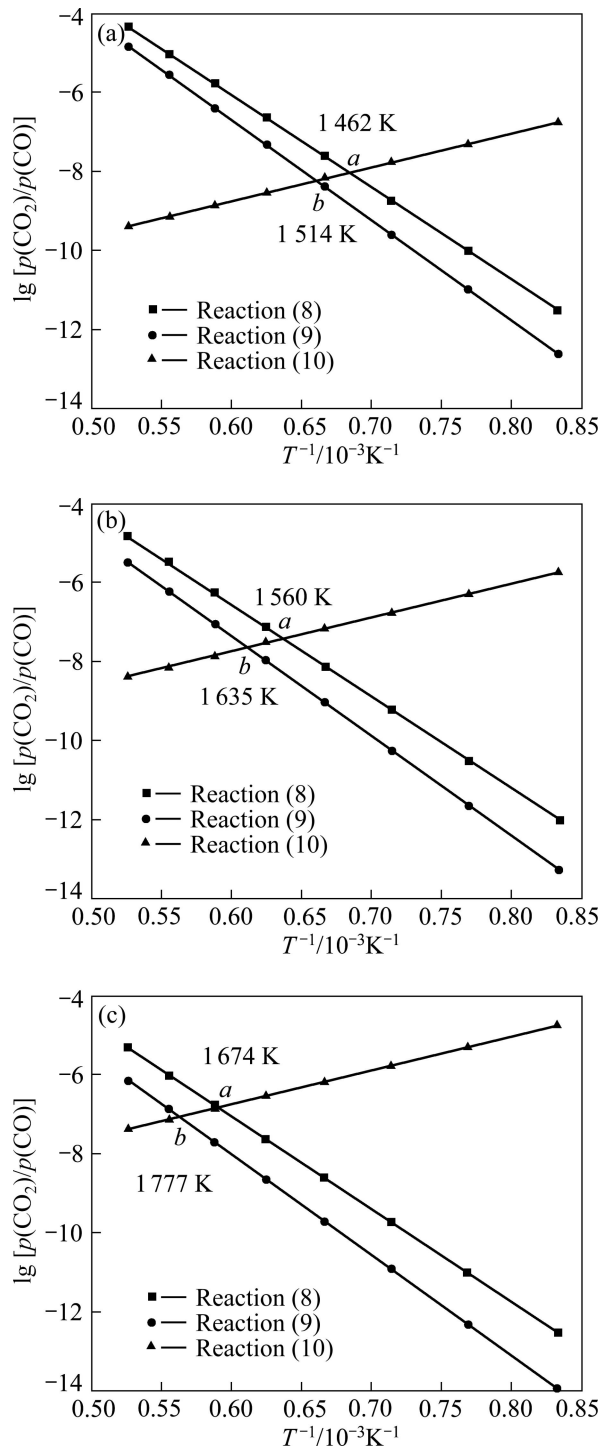


图9 氧化铝还原的平衡曲线

Fig.9 Equilibrium curves for reductions of alumina: (a) $p(\text{CO})=1 \text{ Pa}$; (b) $p(\text{CO})=10 \text{ Pa}$; (c) $p(\text{CO})=100 \text{ Pa}$

反应(8)和(9)的平衡曲线之间的区域为 Al_2O 的稳定区域。当有固体碳存在时, 气化反应(10)与氧化铝的还原反应(8)和(9)分别相交于 a 和 b 点, 高于 a 点温度时, Al_2O 稳定存在, 高于 b 点温度时, Al 稳定存在。当 CO 的分压分别为 1、10 和 100 Pa 时, a 点温度分

别为1462、1560和1674 K, *b*点温度分别为1514、1635和1777 K。

在实际反应条件下,体系内可能存在残留的外界气体,所以,实际的反应情况可能与理论计算之间存在一定差异。

3 结论

1) 真空下碳热还原氧化铝时,压力越低、温度越高,反应越容易进行。当温度为1643~1843 K、系统压力为5~150 Pa时,碳热还原氧化铝生成Al₂O、Al和CO气体。该气体产物在温度降低时发生二次反应,形成含Al₄O₄C、C、Al₄C₃和Al₂O₃的冷凝物。

2) 在1200~1900 K的温度范围内,碳热还原氧化铝生成Al₂O的初始温度低于生成Al气体的,但生成Al气体反应的吉布斯自由能随温度升高而降低的趋势更大,使得两个反应吉布斯自由能与温度的关系曲线相交,高于交点温度时,优先生成Al气体,低于交点温度时,优先生成Al₂O。交点温度随系统压力的升高而升高。

3) 当CO分压分别为1、10和100 Pa时,Al₂O稳定存在的温度分别高于1462、1560和1674 K,Al气体稳定存在的温度分别高于1514、1635和1777 K。

REFERENCES

- [1] HALMANN M, FREI A, ATEINFELD A. Carbothermal reduction of alumina: Thermochemical equilibrium calculation and experimental investigation[J]. Energy, 2007, 32(12): 2420~2427.
- [2] BRUNO M J. Aluminum carbothermic technology[R]. DOE/ID/13900. Pennsylvania: 2004.
- [3] STROUP P T. Carbothermic smelting of aluminum[J]. Transaction of Metallurgical Society of Aime, 1964, 230(3): 355~372.
- [4] 冯月斌,戴永年,王平艳.歧化法生产和精炼铝的研究概况[J].轻金属,2009(3): 12~15.
FENG Yue-bin, DAI Yong-nian, WANG Ping-yan. Research of the production and refining of aluminum by disproportionation[J]. Light Metals, 2009(3): 12~15.
- [5] XI Sheng-qi, LIU Xin-kuan, LI Peng-liang, ZHOU Jing-gen. AlN ceramics synthesized by carbothermal reduction of mechanical activated Al₂O₃[J]. Journal of Alloys and Compounds, 2008, 457(1/2): 452~456.
- [6] JOO H U, JUNG W S. Coverison of basic dicarboxylate Al(III) complexes to aluminum carbide under a flow of argon[J]. Journal of Alloys and Compounds, 2008, 465(1/2): 265~268.
- [7] LIHRMANN J M. Thermodynamics of the Al₂O₃-Al₄C₃ system. I: Thermochemical functions of Al oxide, carbide and oxycarbides between 298 and 2 100 K[J]. Journal of the European Ceramic Society, 2008, 28(3): 633~642.
- [8] LIHRMANN J M. Thermodynamics of the Al₂O₃-Al₄C₃ system. II: Free energies of mixing, solid solubilities and activities[J]. Journal of the European Ceramic Society, 2008, 28(3): 643~647.
- [9] LIHRMANN J M. Thermodynamics of the Al₂O₃-Al₄C₃ system. III: Equilibrium vapour pressures and activation energies for volatilization[J]. Journal of the European Ceramic Society, 2008, 28(3): 649~656.
- [10] 刘新宽,马明亮,周敬恩.碳热还原法制备氮化铝反应机制的研究进展[J].硅酸盐通报,1999(1): 35~39.
LIU Xin-kuan, MA Ming-liang, ZHOU Jing-en. Review of mechanisms of carbothermal reduction nitridation reactions[J]. Bulletin of the Chinese Ceramic Society, 1999(1): 35~39.
- [11] 李亚伟,李楠,袁润章. Al₂O₃-C-N₂系统反应热力学初步探讨[J].硅酸盐通报,2001(4): 3~8.
LI Ya-wei, LI Nan, YUAN Run-zhang. Thermodynamical discussion of the reaction evolution in Al₂O₃-C-N₂ system[J]. Bulletin of the Chinese Ceramic Society, 2001(4): 3~8.
- [12] YUAN Hai-bin, YANG Bin, YU Qing-chun, XU Bao-qiang, ZHU Yu-yan, FENG Yue-bin, DAI Yong-nian. Reaction mechanism of AlCl generated by carbothermic chloride to produce aluminum in vacuum[C]//Proceedings of the 9th Vacuum Metallurgy and Surface Engineering Conference. 2009: 39~45.
- [13] 袁海滨,冯月斌,杨斌,郁青春,徐宝强,王鹏程,戴永年.氧化铝在低价氯化铝法炼铝过程中的行为[J].中国有色金属学报,2010,20(4): 777~783.
YUAN Hai-bin, FENG Yue-bin, YANG Bin, YU Qing-chun, XU Bao-qiang, WANG Peng-cheng, DAI Yong-nian. Thermal behavior of alumina in process of carbothermic reduction and chloride to produce aluminum[J]. The Chinese Journal of Nonferrous Metals, 2010, 20(4): 777~783.
- [14] 袁海滨,冯月斌,徐宝强,杨斌,郁青春,戴永年.低价氯化铝法从氧化铝直接碳热还原炼铝的机理分析[J].真空科学与技术学报,2010,30(3): 259~264.
YUAN Hai-bin, FENG Yue-bin, XU Bao-qiang, YANG Bin, YU Qing-chun, DAI Yong-nian. Direct extraction of aluminum from alumina by carbothermic reaction-chlorination and possible mechanisms[J]. Chinese Journal of Vacuum Science and Technology, 2010, 30(3): 259~264.
- [15] YU J K, UENO S, LI H X, HIRAGUSHI K. Improvement of

- graphitization of isotropic carbon by Al_2O_3 formed from aluminum chelate compound[J]. Journal of the European Ceramic Society, 1999, 19(16): 2843–2848.
- [16] 王平艳, 刘谋胜, 戴永年. 真空碳热还原氯化法从铝土矿炼铝[J]. 真空科学与技术学报, 2006, 26(5): 377–380.
WANG Ping-yan, LIU Mou-sheng, DAI Yong-nian. Vacuum metallurgy of Al from bauxite by carbothermic reaction-chlorination[J]. Chinese Journal of Vacuum Science and Technology, 2006, 26(5): 377–380.
- [17] 李秋霞, 陈为亮, 戴永年. 真空低价氟化铝歧化分解制备铝[J]. 中国有色金属学报, 2008, 18(8): 1550–1554.
LI Qiu-xia, CHEN Wei-liang, DAI Yong-nian. Preparation of aluminum by disproportionation of sub-fluoride in vacuum[J]. The Chinese Journal of Nonferrous Metals, 2008, 18(8): 1550–1554.
- [18] KATSOV D A, SHTEPAN A M, GRINSSTEIN I L, PUPYSHEV A A. Atomization of aluminium oxide in electrothermal atomic absorption analysis[J]. Spectrochimica Acta B, 1992, 47(8): 1023–1041.
- [19] 戴永年, 杨斌. 有色金属材料的真空冶金[M]. 北京: 冶金工业出版社, 2000: 278–345.
DAI Yong-nian, YANG Bin. Vacuum metallurgy for nonferrous metal material[M]. Beijing: Metallurgical Industry Press, 2000: 278–345.
- [20] 傅崇说. 有色冶金原理[M]. 北京: 冶金工业出版社, 2005: 51–74.
FU Chong-yue. Principle of non-ferrous metallurgy[M]. Beijing: Metallurgical Industry Press, 2005: 51–74.

(编辑 陈卫萍)